

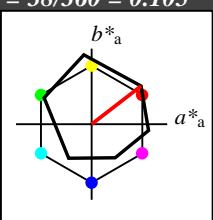
Eingabe: Farbmétrisches Offset-Reflektiv-System ORS18

für Bunton $h^* = lab^*h = 38/360 = 0.105$
 lab^*tch und lab^*nch

D65: Bunton O

LCH*Ma: 48 83 38

olv*Ma: 1.0 0.0 0.0

Dreiecks-Helligkeit t^* 

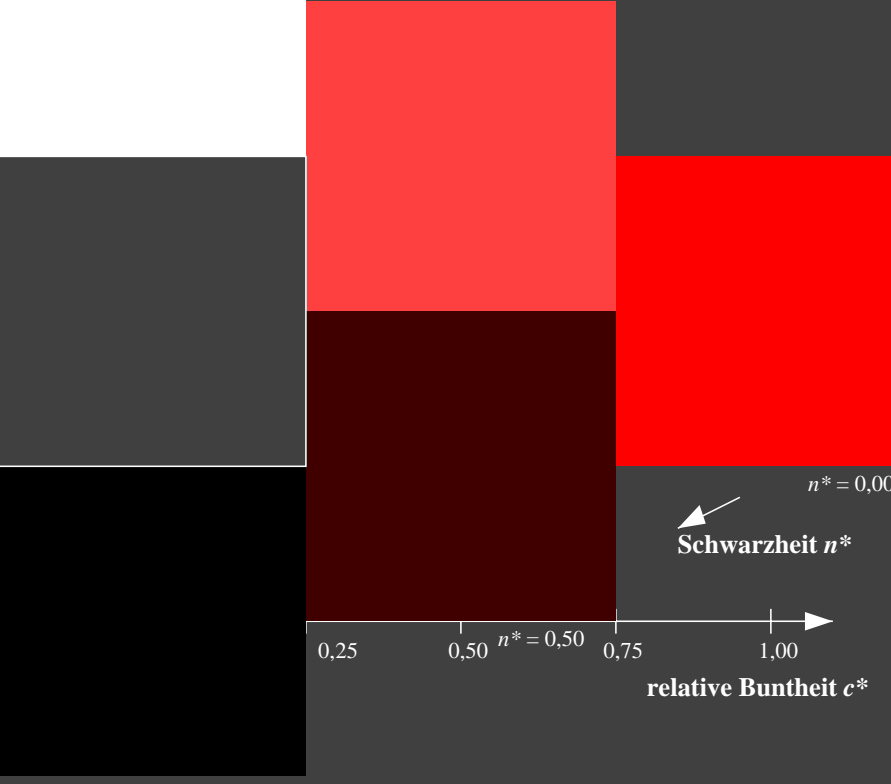
%Umfang

u*_{rel} = 93

%Regularität

g*_{H,rel} = 57g*_{C,rel} = 59

	$L^*=L^*_a$	a^*_a	b^*_a	$C^*_{ab,a}$	$h^*_{ab,a}$
O _{Ma}	47.94	65.39	50.52	82.63	38
Y _{Ma}	90.37	-10.26	91.75	92.32	96
L _{Ma}	50.9	-62.83	34.96	71.91	151
C _{Ma}	58.62	-30.34	-45.01	54.3	236
V _{Ma}	25.72	31.1	-44.4	54.22	305
M _{Ma}	48.13	75.28	-8.36	75.74	354
N _{Ma}	18.01	0.0	0.0	0.0	0
W _{Ma}	95.41	0.0	0.0	0.0	0
R _{CIE}	39.92	58.66	26.98	64.57	25
J _{CIE}	81.26	-2.16	67.76	67.79	92
G _{CIE}	52.23	-42.25	11.76	43.87	164
B _{CIE}	30.57	1.15	-46.84	46.86	271



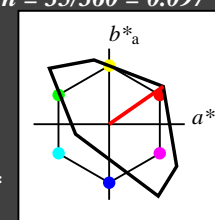
Ausgabe: Farbmétrisches Fernseh-Licht-System TLS18

für Bunton $h^* = lab^*h = 35/360 = 0.097$
 lab^*tch und lab^*nch

D65: Bunton O

LCH*Ma: 53 87 35

olv*Ma: 1.0 0.0 0.0

Dreiecks-Helligkeit t^* 

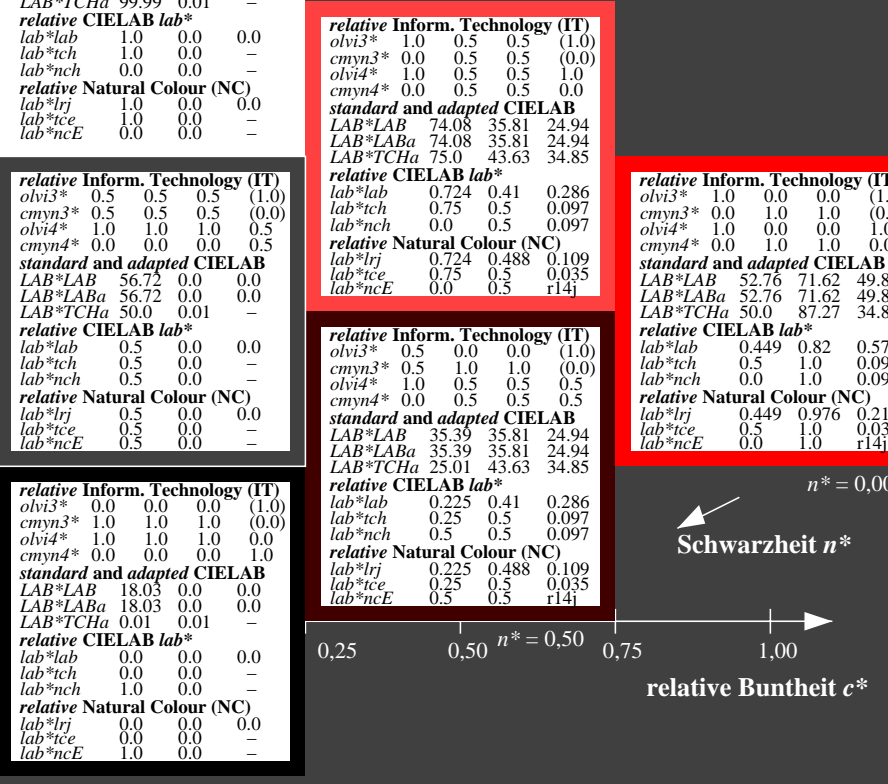
%Umfang

u*_{rel} = 118

%Regularität

g*_{H,rel} = 22g*_{C,rel} = 40

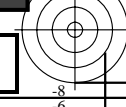
	$L^*=L^*_a$	a^*_a	b^*_a	$C^*_{ab,a}$	$h^*_{ab,a}$
O _{Ma}	52.76	71.63	49.88	87.29	35
Y _{Ma}	92.74	-20.02	84.97	87.3	103
L _{Ma}	84.0	-78.98	73.94	108.2	137
C _{Ma}	87.14	-44.41	-13.11	46.32	196
V _{Ma}	35.47	64.92	-95.06	115.12	304
M _{Ma}	59.01	89.33	-55.67	105.26	328
N _{Ma}	18.01	0.0	0.0	0.0	0
W _{Ma}	95.41	0.0	0.0	0.0	0
R _{CIE}	39.92	58.74	27.99	65.07	25
J _{CIE}	81.26	-2.88	71.56	71.62	92
G _{CIE}	52.23	-42.41	13.6	44.55	162
B _{CIE}	30.57	1.41	-46.46	46.49	272

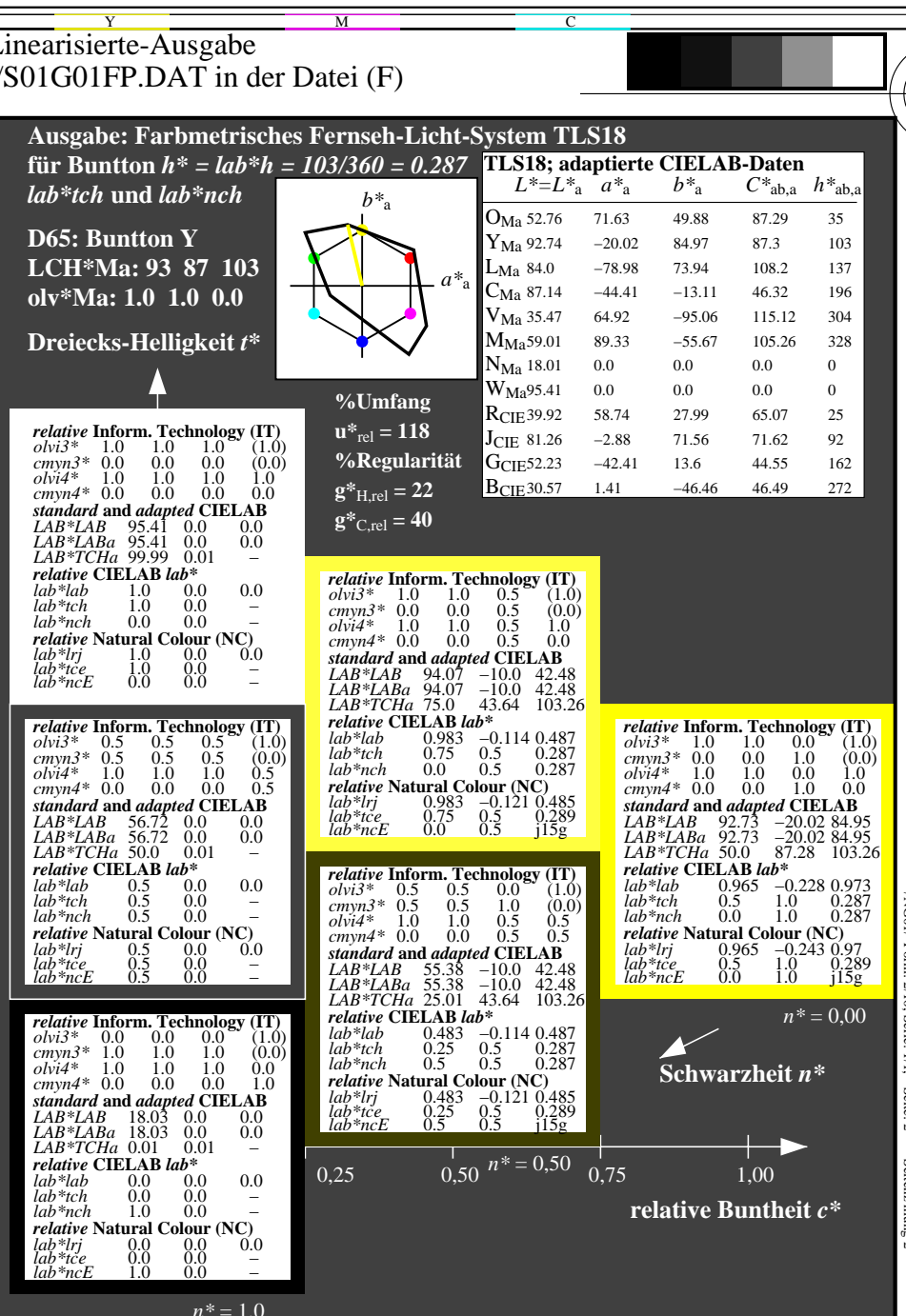
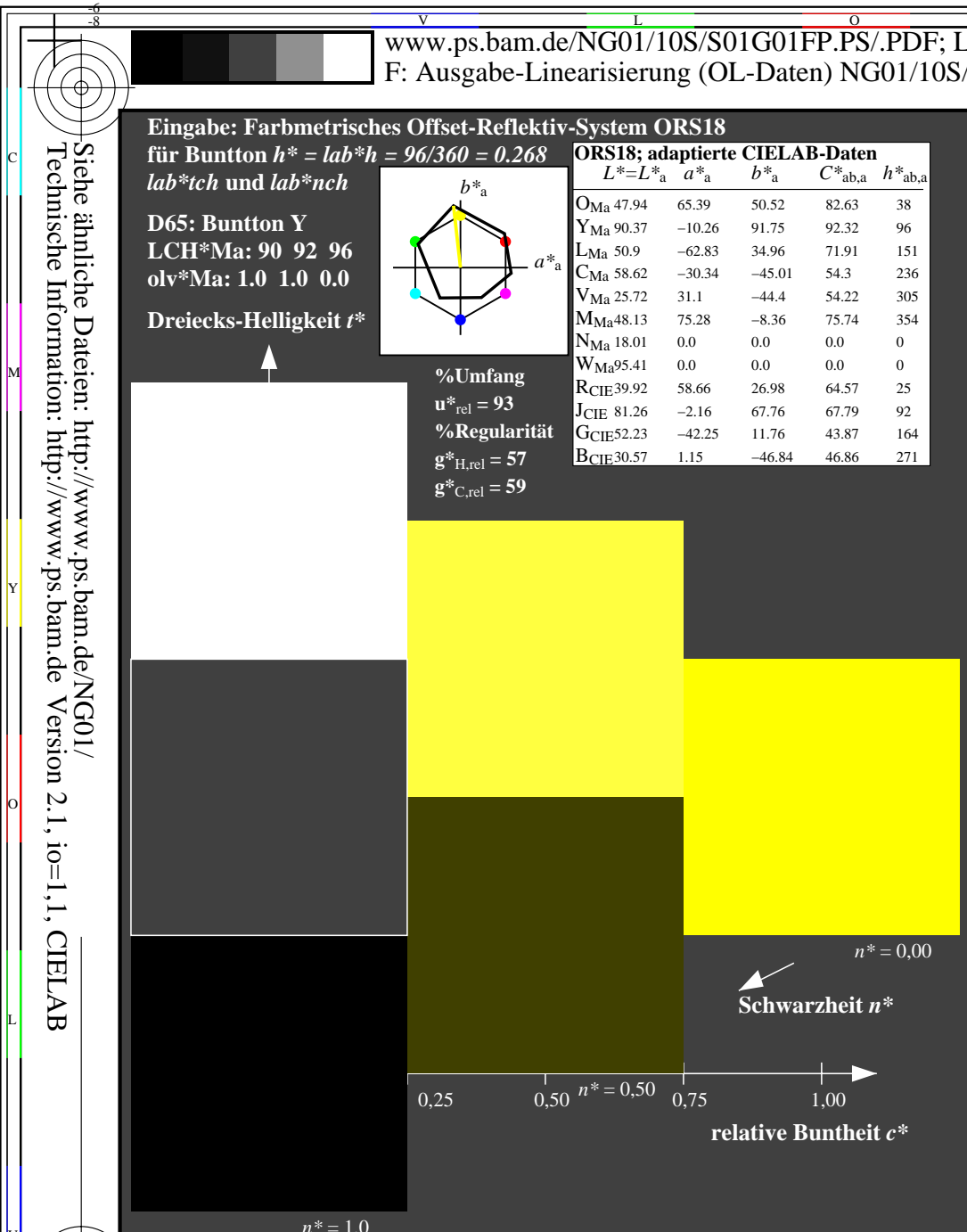


NG01-7, 3 stufige Reihen für konstanten CIELAB Bunton 38/360 = 0.105 (links)

BAM-Prüfvorlage NG01; Farbmétrik-Systeme ORS18 & TLS18 input: olv* setrgbcolor

D65: 3stufige Farbreihen und Koordinatendaten für 10 Bunttöne output: olv* setrgbcolor / w* setgray

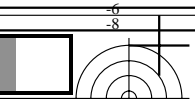




NG010-7, 3stufige Reihen für konstanten CIELAB Bunton 96/360 = 0.268 (links)

BAM-Prüfvorlage NG01; Farbmétrik-Systeme ORS18 & TLS18 input: $olv^* setrgbcolor$

D65: 3stufige Farbreihen und Koordinatendaten für 10 Bunttöne output: $olv^* setrgbcolor / w^* setgray$

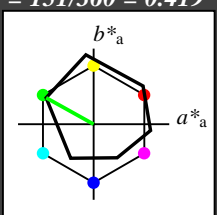


Eingabe: Farbmetrisches Offset-Reflektiv-System QRS18

für Buntton $h^* = lab^*h = 1$
 lab^*tch und lab^*nch

D65: Bunton L
LCH*Ma: 51 72 151
L*Ma: 0 0 1 0 0 0

Dreiecks-Helligkeit t^*



%Umfang

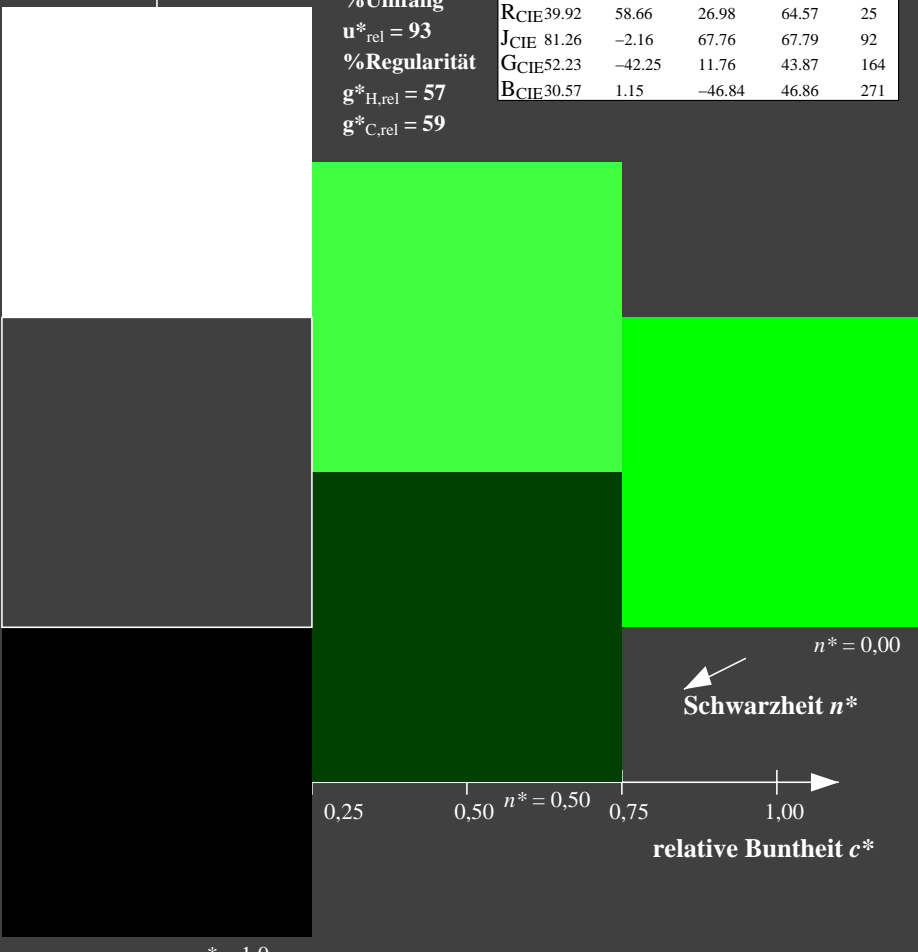
II^{*}₁₁ = 93

% Regularität

σ*_{H-1} = 57

$\sigma_{\text{H,rec}}^*$ = 59

ORS18; adaptierte CIELAB-Daten					
	L^*	a^*	b^*	$C^*_{ab,a}$	$h^*_{ab,a}$
O _{Ma}	47.94	65.39	50.52	82.63	38
Y _{Ma}	90.37	-10.26	91.75	92.32	96
L _{Ma}	50.9	-62.83	34.96	71.91	151
C _{Ma}	58.62	-30.34	-45.01	54.3	236
V _{Ma}	25.72	31.1	-44.4	54.22	305
M _{Ma}	48.13	75.28	-8.36	75.74	354
N _{Ma}	18.01	0.0	0.0	0.0	0
W _{Ma}	95.41	0.0	0.0	0.0	0
RCIE	39.92	58.66	26.98	64.57	25
J _{CIE}	81.26	-2.16	67.76	67.79	92
G _{CIE}	52.23	-42.25	11.76	43.87	164
B _{CIE}	30.57	1.15	-46.84	46.86	271

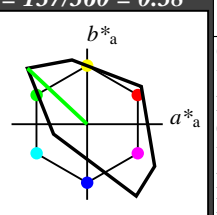


Ausgabe: Farbmetrisches Fernseh-Licht-System TLS18

für Buntton $h^* = lab^*h = 137/360 = 0.38$
 lab^*tch und lab^*nch

D65: Bunton L
LCH*Ma: 84 108 137

Dreiecks-Helligkeit t^*



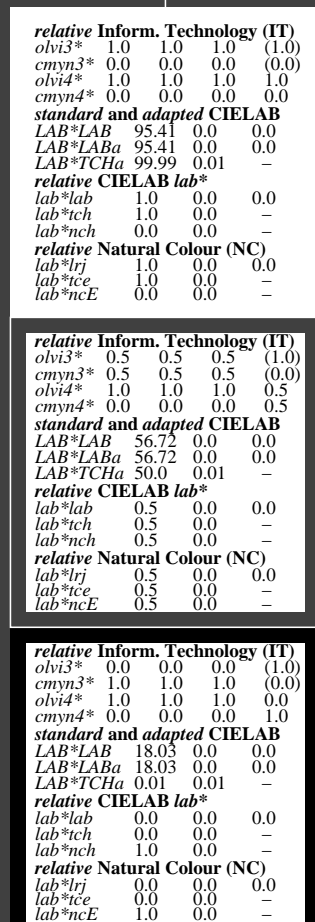
%Umfang

118

% Regularität

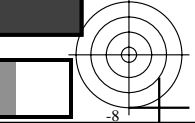
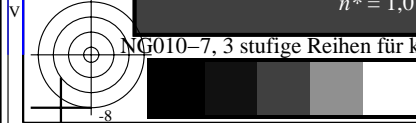
$\sigma^*_{II-1} = 22$

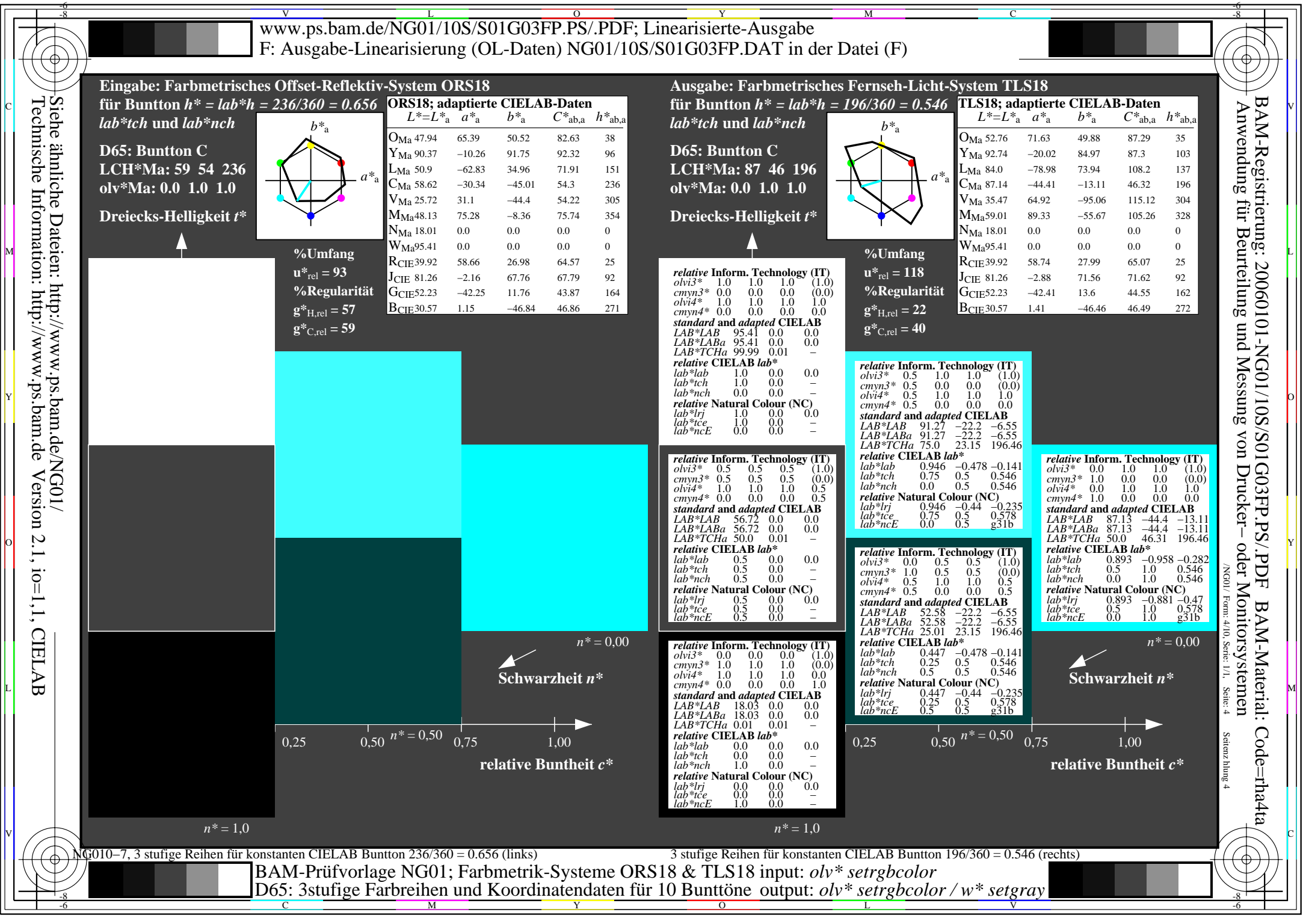
TLS18; adaptierte CIELAB-Daten					
	$L^* = L^*_a$	a^*_a	b^*_a	$C^*_{ab,a}$	$h^*_{ab,a}$
O _{Ma} 52.76	71.63		49.88	87.29	35
Y _{Ma} 92.74	-20.02		84.97	87.3	103
L _{Ma} 84.0	-78.98		73.94	108.2	137
C _{Ma} 87.14	-44.41		-13.11	46.32	196
V _{Ma} 35.47	64.92		-95.06	115.12	304
M _{Ma} 59.01	89.33		-55.67	105.26	328
N _{Ma} 18.01	0.0		0.0	0.0	0
W _{Ma} 95.41	0.0		0.0	0.0	0
R _{CIE} 39.92	58.74		27.99	65.07	25
J _{CIE} 81.26	-2.88		71.56	71.62	92
G _{CIE} 52.23	-42.41		13.6	44.55	162
B _{CIE} 30.57	1.41		-46.46	46.49	272

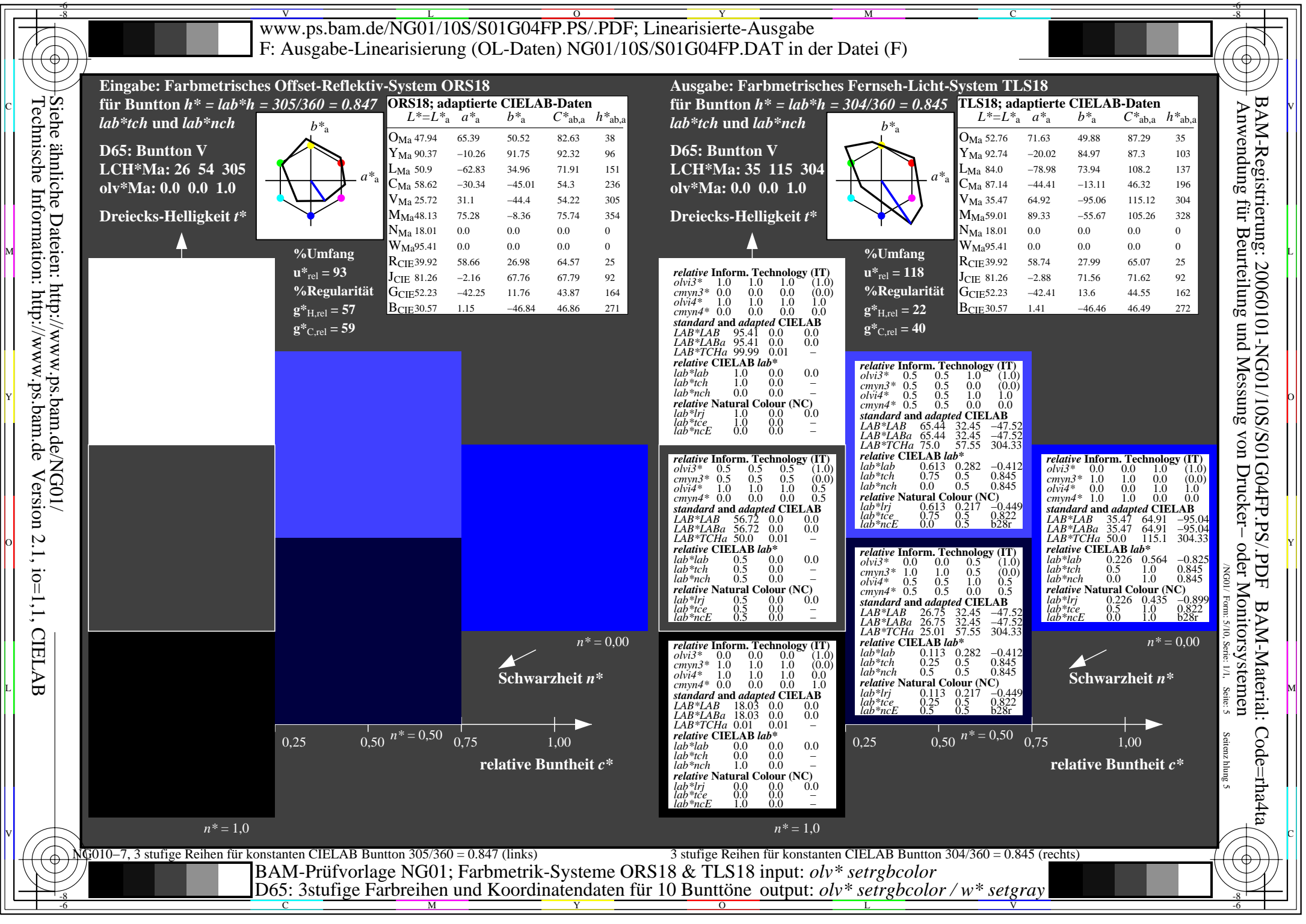


3stufige Reihen für konstanten CIELAB Buntton 137/360 = 0.38 (rechts)

BAM-Prüfvorlage NG01; Farbmetriksysteme ORS18 & TLS18 input: *olv** *setrgbcolor*
D65: 3stufige Farbreihen und Koordinatendaten für 10 Bunttöne output: *olv** *setrgbcolor* / *w** *setgray*







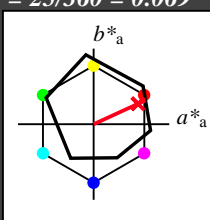
**Eingabe: Farbmétrisches Offset-Reflektiv-System ORS18**

für Bunton $h^* = lab^*h = 25/360 = 0.069$
 lab^*tch und lab^*nch

D65: Bunton R

LCH*Ma: 48 75 25

olv*Ma: 1.0 0.0 0.32

Dreiecks-Helligkeit t^* 

%Umfang

 $u^*_{rel} = 93$

%Regularität

 $g^*_{H,rel} = 57$ $g^*_{C,rel} = 59$

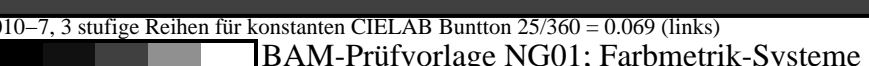
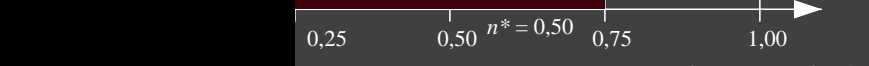
	$L^*=L^*_a$	a^*_a	b^*_a	$C^*_{ab,a}$	$h^*_{ab,a}$
O _{Ma}	47.94	65.39	50.52	82.63	38
Y _{Ma}	90.37	-10.26	91.75	92.32	96
L _{Ma}	50.9	-62.83	34.96	71.91	151
C _{Ma}	58.62	-30.34	-45.01	54.3	236
V _{Ma}	25.72	31.1	-44.4	54.22	305
M _{Ma}	48.13	75.28	-8.36	75.74	354
N _{Ma}	18.01	0.0	0.0	0.0	0
W _{Ma}	95.41	0.0	0.0	0.0	0
R _{CIE}	39.92	58.66	26.98	64.57	25
J _{CIE}	81.26	-2.16	67.76	67.79	92
G _{CIE}	52.23	-42.25	11.76	43.87	164
B _{CIE}	30.57	1.15	-46.84	46.86	271



%Umfang

 $u^*_{rel} = 118$

%Regularität

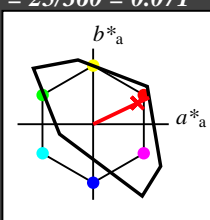
 $g^*_{H,rel} = 22$ $g^*_{C,rel} = 40$ **Ausgabe: Farbmétrisches Fernseh-Licht-System TLS18**

für Bunton $h^* = lab^*h = 25/360 = 0.071$
 lab^*tch und lab^*nch

D65: Bunton R

LCH*Ma: 54 82 25

olv*Ma: 1.0 0.0 0.14

Dreiecks-Helligkeit t^* 

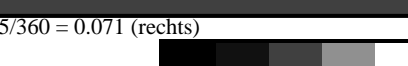
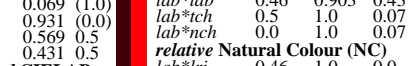
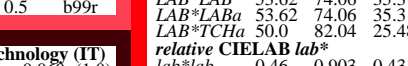
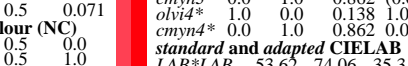
%Umfang

 $u^*_{rel} = 118$

%Regularität

 $g^*_{H,rel} = 22$ $g^*_{C,rel} = 40$

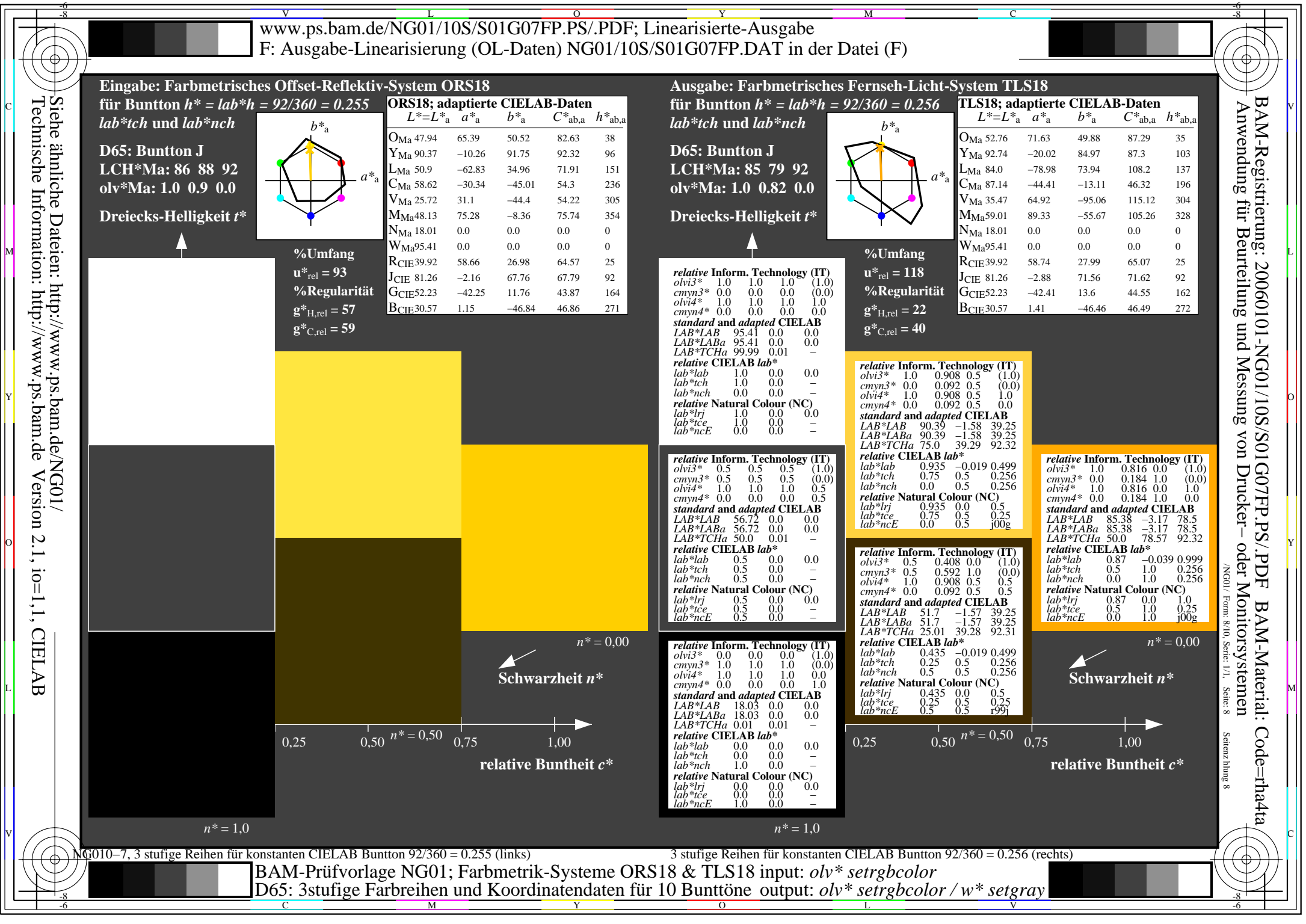
	$L^*=L^*_a$	a^*_a	b^*_a	$C^*_{ab,a}$	$h^*_{ab,a}$
O _{Ma}	52.76	71.63	49.88	87.29	35
Y _{Ma}	92.74	-20.02	84.97	87.3	103
L _{Ma}	84.0	-78.98	73.94	108.2	137
C _{Ma}	87.14	-44.41	-13.11	46.32	196
V _{Ma}	35.47	64.92	-95.06	115.12	304
M _{Ma}	59.01	89.33	-55.67	105.26	328
N _{Ma}	18.01	0.0	0.0	0.0	0
W _{Ma}	95.41	0.0	0.0	0.0	0
R _{CIE}	39.92	58.74	27.99	65.07	25
J _{CIE}	81.26	-2.88	71.56	71.62	92
G _{CIE}	52.23	-42.41	13.6	44.55	162
B _{CIE}	30.57	1.41	-46.46	46.49	272



NG010-7, 3 stufige Reihen für konstanten CIELAB Bunton 25/360 = 0.069 (links)

BAM-Prüfvorlage NG01; Farbmétrik-Systeme ORS18 & TLS18 input: $olv^* setrgbcolor$ D65: 3stufige Farbreihen und Koordinatendaten für 10 Bunttöne output: $olv^* setrgbcolor / w^* setgray$

C M Y O L V



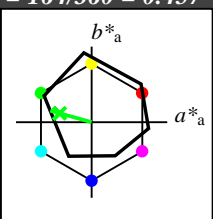
Eingabe: Farbmétrisches Offset-Reflektiv-System ORS18

für Bunton $h^* = lab^*h = 164/360 = 0.457$
 lab^*tch und lab^*nch

D65: Bunton G

LCH*Ma: 53 57 164

olv*Ma: 0.0 1.0 0.25

Dreiecks-Helligkeit t^* 

%Umfang

u*_{rel} = 93

%Regularität

g*_{H,rel} = 57g*_{C,rel} = 59

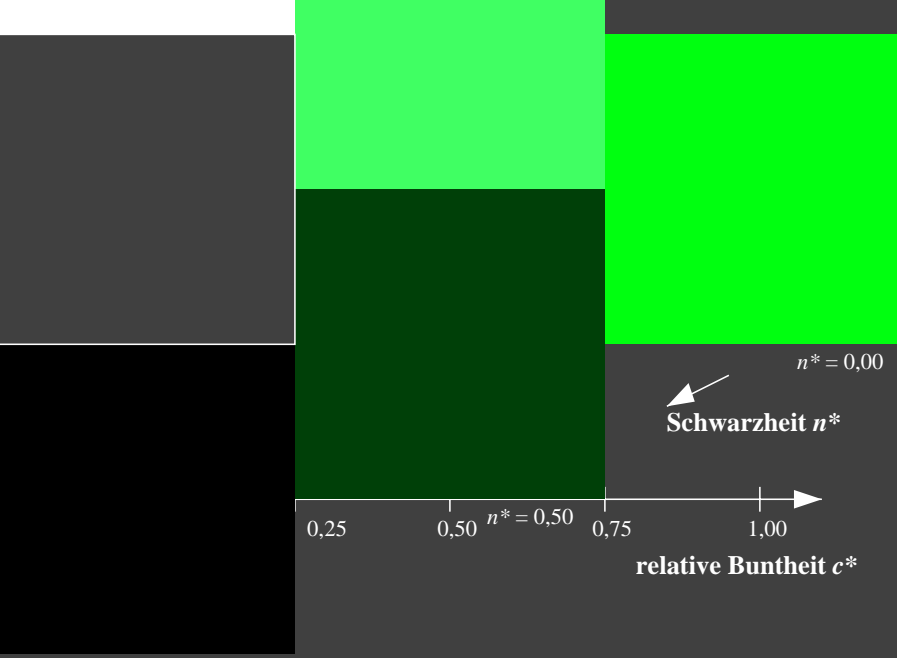
	$L^* = L^*_a$	a^*_a	b^*_a	$C^*_{ab,a}$	$h^*_{ab,a}$
O _{Ma}	47.94	65.39	50.52	82.63	38
Y _{Ma}	90.37	-10.26	91.75	92.32	96
L _{Ma}	50.9	-62.83	34.96	71.91	151
C _{Ma}	58.62	-30.34	-45.01	54.3	236
V _{Ma}	25.72	31.1	-44.4	54.22	305
M _{Ma}	48.13	75.28	-8.36	75.74	354
N _{Ma}	18.01	0.0	0.0	0.0	0
W _{Ma}	95.41	0.0	0.0	0.0	0
R _{CIE}	39.92	58.66	26.98	64.57	25
J _{CIE}	81.26	-2.16	67.76	67.79	92
G _{CIE}	52.23	-42.25	11.76	43.87	164
B _{CIE}	30.57	1.15	-46.84	46.86	271



%Umfang

u*_{rel} = 118

%Regularität

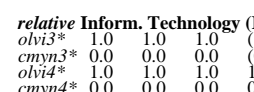
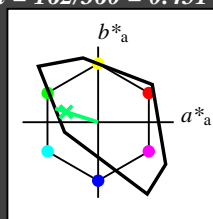
g*_{H,rel} = 22g*_{C,rel} = 40**Ausgabe: Farbmétrisches Fernseh-Licht-System TLS18**

für Bunton $h^* = lab^*h = 162/360 = 0.451$
 lab^*tch und lab^*nch

D65: Bunton G

LCH*Ma: 86 60 162

olv*Ma: 0.0 1.0 0.64

Dreiecks-Helligkeit t^* 

relative Inform. Technology (IT)

olvi3* 1.0 1.0 1.0 (1,0)

cmyn3* 0.0 0.0 0.0 (0,0)

olvi4* 1.0 1.0 1.0 1.0

cmyn4* 0.0 0.0 0.0 0.0

standard and adapted CIELAB

LAB*LAB 95.41 0.0 0.0

LAB*LABa 95.41 0.0 0.0

LAB*TChA 99.99 0.01 -

relative CIELAB lab*

lab*lab 1.0 0.0 0.0

lab*tch 1.0 0.0 -

lab*nch 0.0 0.0 -

relative Natural Colour (NC)

lab*lrj 1.0 0.0 0.0

lab*tce 1.0 0.0 -

lab*ncE 0.0 0.0 -

relative Inform. Technology (IT)

olvi3* 0.5 1.0 0.82 (1,0)

cmyn3* 0.5 0.0 0.18 (0,0)

olvi4* 0.5 1.0 0.82 1,0

cmyn4* 0.5 0.0 0.18 0,0

standard and adapted CIELAB

LAB*LAB 90.7 0.0 0.0

LAB*LABa 90.7 -28.42 9.11

LAB*TChA 75.00 29.85 162.23

relative CIELAB lab*

lab*lab 0.939 -0.475 0.153

lab*tch 0.75 0.5 0.451

lab*nch 0.0 0.5 0.451

relative Natural Colour (NC)

lab*lrj 0.939 -0.499 0.0

lab*tce 0.75 0.5 0.5

lab*ncE 0.0 0.5 g00b

relative Inform. Technology (IT)

olvi3* 0.0 1.0 0.64 (1,0)

cmyn3* 1.0 0.0 0.36 (0,0)

olvi4* 0.0 1.0 0.64 1,0

cmyn4* 1.0 0.0 0.36 0,0

standard and adapted CIELAB

LAB*LAB 86.0 -56.85 18.23

LAB*LABa 86.0 -56.85 18.23

LAB*TChA 50.0 59.71 162.23

relative CIELAB lab*

lab*lab 0.878 -0.951 0.305

lab*tch 0.5 1.0 0.451

lab*nch 0.0 1.0 0.451

relative Natural Colour (NC)

lab*lrj 0.878 -0.999 0.0

lab*tce 0.5 1.0 0.5

lab*ncE 0.0 1.0 g00b

n* = 0,00

Schwarzeit n*

relative Buntheit c*

0,25 0,50 n* = 0,50 0,75 1,00

relative Buntheit c*

n* = 1,0

relative Inform. Technology (IT)

olvi3* 0.0 0.5 0.32 (1,0)

cmyn3* 1.0 0.5 0.68 (0,0)

olvi4* 0.5 1.0 0.82 0,5

cmyn4* 0.5 0.0 0.18 0,5

standard and adapted CIELAB

LAB*LAB 52.01 -28.42 9.12

LAB*LABa 52.01 -28.42 9.12

LAB*TChA 25.01 29.86 162.22

relative CIELAB lab*

lab*lab 0.439 -0.475 0.153

lab*tch 0.25 0.5 0.451

lab*nch 0.5 0.5 0.451

relative Natural Colour (NC)

lab*lrj 0.439 -0.499 0.0

lab*tce 0.25 0.5 0.5

lab*ncE 0.5 0.5 j99g

n* = 0,00

Schwarzeit n*

relative Buntheit c*

0,25 0,50 n* = 0,50 0,75 1,00

relative Buntheit c*

n* = 1,0

NG01-7, 3 stufige Reihen für konstanten CIELAB Bunton 164/360 = 0.457 (links)

BAM-Prüfvorlage NG01; Farbmétrik-Systeme ORS18 & TLS18 input: olv* setrgbcolor

D65: 3stufige Farbreihen und Koordinatendaten für 10 Bunttöne output: olv* setrgbcolor / w* setgray

Eingabe: Farbmatisches Offset-Reflektiv-System ORS18

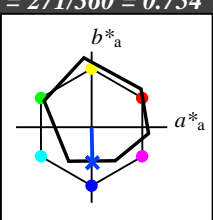
für Bunton $h^* = lab^*h = 271/360 = 0.754$
 lab^*tch und lab^*nch

D65: Bunton B

LCH*Ma: 42 45 271

olv*Ma: 0.0 0.49 1.0

Dreiecks-Helligkeit t^*



%Umfang

$u^*_{rel} = 93$

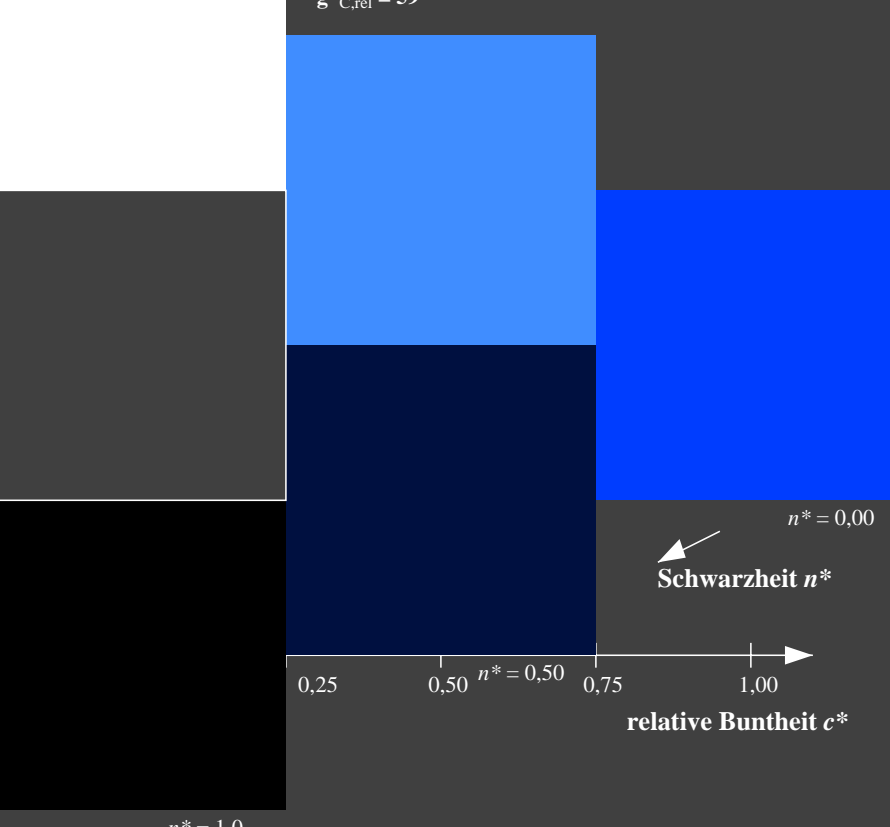
%Regularität

$g^*_{H,rel} = 57$

$g^*_{C,rel} = 59$

ORS18; adaptierte CIELAB-Daten

	$L^* = L^*_a$	a^*_a	b^*_a	$C^*_{ab,a}$	$h^*_{ab,a}$
O _{Ma}	47.94	65.39	50.52	82.63	38
Y _{Ma}	90.37	-10.26	91.75	92.32	96
L _{Ma}	50.9	-62.83	34.96	71.91	151
C _{Ma}	58.62	-30.34	-45.01	54.3	236
V _{Ma}	25.72	31.1	-44.4	54.22	305
M _{Ma}	48.13	75.28	-8.36	75.74	354
N _{Ma}	18.01	0.0	0.0	0.0	0
W _{Ma}	95.41	0.0	0.0	0.0	0
R _{CIE}	39.92	58.66	26.98	64.57	25
J _{CIE}	81.26	-2.16	67.76	67.79	92
G _{CIE}	52.23	-42.25	11.76	43.87	164
B _{CIE}	30.57	1.15	-46.84	46.86	271



Ausgabe: Farbmatisches Fernseh-Licht-System TLS18

für Bunton $h^* = lab^*h = 272/360 = 0.755$

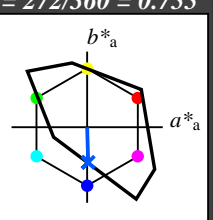
lab^*tch und lab^*nch

D65: Bunton B

LCH*Ma: 65 48 272

olv*Ma: 0.0 0.58 1.0

Dreiecks-Helligkeit t^*



%Umfang

$u^*_{rel} = 118$

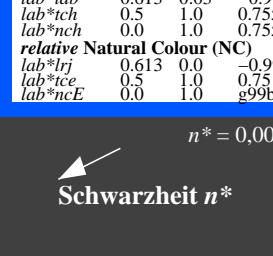
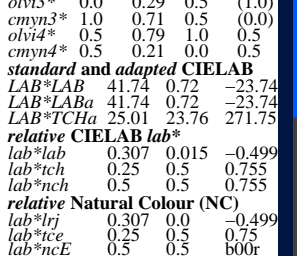
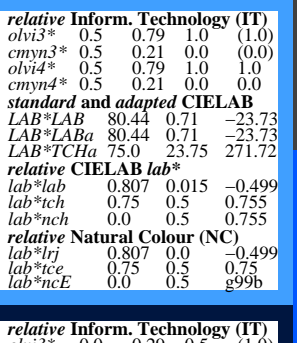
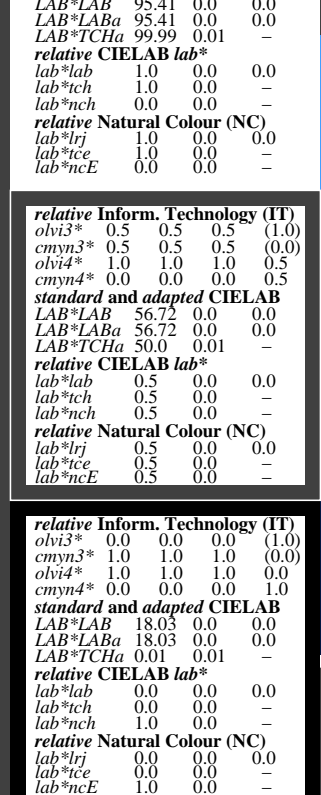
%Regularität

$g^*_{H,rel} = 22$

$g^*_{C,rel} = 40$

TLS18; adaptierte CIELAB-Daten

	$L^* = L^*_a$	a^*_a	b^*_a	$C^*_{ab,a}$	$h^*_{ab,a}$
O _{Ma}	52.76	71.63	49.88	87.29	35
Y _{Ma}	92.74	-20.02	84.97	87.3	103
L _{Ma}	84.0	-78.98	73.94	108.2	137
C _{Ma}	87.14	-44.41	-13.11	46.32	196
V _{Ma}	35.47	64.92	-95.06	115.12	304
M _{Ma}	59.01	89.33	-55.67	105.26	328
N _{Ma}	18.01	0.0	0.0	0.0	0
W _{Ma}	95.41	0.0	0.0	0.0	0
R _{CIE}	39.92	58.74	27.99	65.07	25
J _{CIE}	81.26	-2.88	71.56	71.62	92
G _{CIE}	52.23	-42.41	13.6	44.55	162
B _{CIE}	30.57	1.41	-46.46	46.49	272



3 stufige Reihen für konstanten CIELAB Bunton 272/360 = 0.755 (rechts)

n* = 0,00

